

تعیین الگوی تغییر شکل ارتفاعی سطح پوسته زمین در فلات ایران با استفاده از داده‌های شبکه GPS موردنی ایران سراسری

مسعود مشهدی حسینعلی^{*}^۱، حمیدرضا حیدری^۲

۱- استادیار دانشکده مهندسی نقشه‌برداری، دانشگاه صنعتی خواجه نصیرالدین طوسی

۲- کارشناس ارشد ژئودزی دانشکده نقشه‌برداری، دانشگاه صنعتی خواجه نصیرالدین طوسی

تاریخ دریافت مقاله: ۱۳۹۱/۸/۱ تاریخ پذیرش مقاله: ۱۳۹۲/۸/۲۴

چکیده

در نوشتار حاضر تغییر شکل‌های ارتفاعی سطح پوسته زمین در فلات ایران با استفاده از روش تحلیلی آنالیز تغییر شکل بررسی می‌گردد. برای این منظور از مشاهدات GPS شبکه موردنی موسوم به شبکه ایران سراسری استفاده شده است. این شبکه نخستین شبکه سراسری ژئودزی ماهواره‌ای کشور است که در سال‌های ۱۹۹۹، ۲۰۰۱ و ۲۰۰۵ میلادی به همت سازمان نقشه‌برداری کشور و در قالب همکاری علمی مشترک با دانشگاه مونپلییر در فرانسه، اجرا و انجام گرفت. در پردازش داده‌های این شبکه از نرم‌افزار GAMIT/GLOBK استفاده شده است. برای تعیین الگوی تغییر شکل ارتفاعی سطح پوسته زمین در فلات ایران در این روش از تغییرات فرم اساسی دوم و یکی از معیارهای تغییر انحنای پوسته زمین در سطح آن - که در اینجا انحنای متوسط است - استفاده می‌شود. نتایج حاصل از این تحقیق با سایر شواهد موجود همچون سازوکارهای کانونی زمین‌لرزه‌هایی که در بازه زمانی مشاهده‌های این شبکه به وقوع پیوسته‌اند، مقایسه و ارزیابی شده است. با توجه به این که نتایج پژوهش حاضر نخستین نتایج در زمینه وضعیت تغییر شکل ارتفاعی پوسته زمین در فلات ایران به شمار می‌آید، وضعیت سازوکار کانونی زمین‌لرزه‌های مورد استناد در این مقاله دست کم اعتبار محلی نتایج مذکور را تأیید می‌کند.

کلیدواژه‌ها: آنالیز تغییر شکل، سیستم تعیین موقعیت جهانی، آنالیز تحلیلی تغییر شکل، تغییر شکل ارتفاعی.

* نویسنده مکاتبه‌کننده: تهران، خیابان ولی‌عصر (عج)، بالاتر از تقاطع میرداماد، پلاک ۱۳۴۶، دانشگاه صنعتی خواجه نصیرالدین طوسی، دانشکده مهندسی نقشه‌برداری.

تلفن: ۸۸۷۸۶۲۱۲

۱- مقدمه

هر دور مشاهدات این شبکه و فاصله زمانی نامناسب دور دوم مشاهدات این شبکه از مشاهدات دور نخست استفاده از این شبکه، بررسی وضعیت کنونی تغییر شکل ارتفاعی در کشور را ناممکن می‌نماید. بدین ترتیب در این تحقیق استفاده از داده‌های GPS به عنوان تنها مشاهداتی که در وهله نخست ماهیتی سه‌بعدی دارند و بنابراین مطالعه تغییر شکل ارتفاعی را ممکن می‌سازند و دوم، به عنوان تنها مشاهدات اخیر موجود که بررسی چگونگی وضعیت حاضر تغییر شکل ارتفاعی در کشور را امکان‌پذیر می‌سازند، مورد توجه قرار گرفت. برای این منظور، داده‌های شبکه GPS موردی ایران سراسری از سازمان نقشه‌برداری کشور تهیه شد و پس از پردازش مورد تجزیه و تحلیل قرار گرفت. این داده‌ها و جزئیات مربوط به پردازش آنها با نرم‌افزار GAMIT/GLOBK در بخش بعدی این مقاله معرفی خواهند شد. در ادامه برای دستیابی به الگویی از وضعیت حاضر تغییر شکل ارتفاعی در کشور به کمک نتایج حاصل از پردازش این مشاهدات، از تئوری تحلیلی آنالیز تغییر شکل استفاده شده است. مطابق با این تئوری، تغییر شکل‌های ارتفاعی را می‌توان از طریق مطالعه تغییرات فرم اساسی دوم گوس و یکی از معیارهای محاسبه انحنای سطح پوسته زمین مطالعه و تحلیل کرد [۱۲، ۱۳]. برای این منظور در این مقاله از معیار انحنای متوسط استفاده شده است. در ادامه ضمن معرفی این روش، جزئیات مربوط به نتایج به دست آمده ارائه می‌گردد و با سایر شواهد موجود ارزیابی و مقایسه می‌شود.

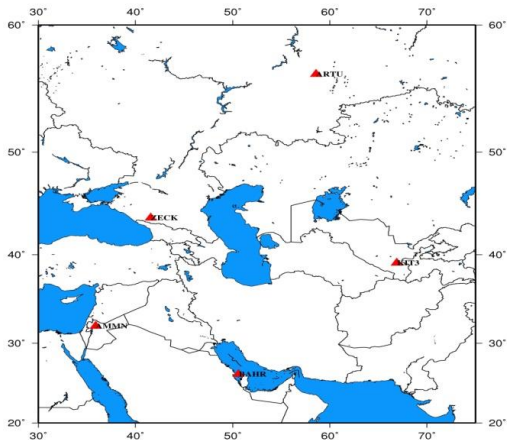
۲- شبکه مورد مطالعه

شبکه موردی ایران سراسری، نخستین شبکه سراسری ژئودزی ماهواره‌ای کشور است که در سال‌های ۱۹۹۹ و

-
1. Seismic Deformation
 2. Aseismic Deformation

کشور ایران، واقع بر کمریند لرزوه خیز آلب - هیمالیا، مستعد و دستخوش انواع تغییر شکل‌های لرزه‌مرجع^۱ و غیرلرزه‌مرجع^۲ است [۱]. این تغییر شکل‌ها غالباً با مؤلفه‌های مسطحاتی بزرگی (در حد دقت سیستم‌های جدید اندازه‌گیری) که به مراتب بزرگ‌تر از مؤلفه ارتفاعی مربوط هستند، همراه‌اند [۲]. روش‌های ژئودتیک آنالیز تغییر شکل که غالباً رویکردی هندسی به موضوع آنالیز تغییر شکل دارند، به عنوان تنها ابزارهای موجود برای بررسی وضع حاضر تغییر شکل‌های سطحی پوسته زمین شناخته می‌شوند [۳]. بدین لحاظ توسعه این روش‌ها مدت‌ها مورد توجه متخصصان ذی‌ربط بوده است [۴، ۵، ۶، ۷].
براساس بررسی‌های به عمل آمده در این تحقیق، تاکنون در ایران مطالعه تغییر شکل‌های سطحی پوسته زمین به بررسی و مطالعه تغییر شکل‌های مسطحاتی محدود شده است. بنابراین مقاله حاضر نخستین تحقیق در زمینه مطالعه تغییر شکل ارتفاعی در فلات ایران به شمار می‌آید. کوچک‌تر بودن مؤلفه ارتفاعی تغییر شکل از مؤلفه‌های مسطحاتی مربوط، آنالیز همزمان تغییر شکل‌های مسطحاتی و ارتفاعی به روش‌های ژئودتیک را با مشکلاتی همراه می‌سازد [۹]. بدین لحاظ استفاده از ترازیابی دقیق هنوز هم بهترین ابزار برای مطالعه تغییر شکل‌های ارتفاعی پوسته زمین محسوب می‌شود. بنابراین از بُعدِ نظری، شبکه ترازیابی دقیق سراسری کشور با ۳۰۵۰۰ کیلومتر مسیر ترازیابی دقیق به لحاظ پوشش مکانی، و همچنین ماهیت مشاهدات و دقت آنها، مناسب‌ترین داده‌ها برای بررسی چگونگی تغییر شکل ارتفاعی پوسته زمین در فلات ایران به نظر می‌رسد.

با این حال، متأسفانه دلایل مختلفی مانند کامل نبودن دور جدید مشاهدات این شبکه، آلوده بودن مشاهدات دور نخست به خطاهای سیستماتیک [۱۰ و ۱۱]، مدت زمان بسیار طولانی لازم برای انجام



شکل ۲. ایستگاه‌های GNSS مورد استفاده در پردازش داده‌های این تحقیق. محل ایستگاه‌های مورد استفاده از این شبکه با مثلث نشان داده شده، و نام اختصاری هر ایستگاه در کنار محل هر ایستگاه به نمایش درآمده است.

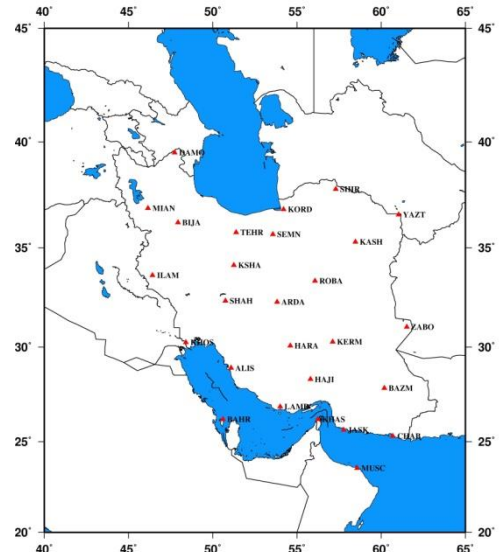
۱-۲- مشاهدات شبکه ایران سراسری.

۱-۱-۲- مشاهدات سال ۱۹۹۹

مشاهدات این سال در ۱۱ روز متوالی انجام شده است. در این مرحله ۲۸ ایستگاه مطابق با جدول «۱-ض» اندازه‌گیری شده است. این مشاهدات با استفاده از گیرندهای Z-XII3 ASHTECH و TRIMBLE 4000SSI ASH701945B-M انجام شده است. جدول «۱-ض» تکرارپذیری مشاهدات این مرحله را برای هر یک از ایستگاه‌های شبکه موردنی ایران - سراسری نمایش می‌دهد. همان‌گونه که در این جدول می‌توان دید، ۲۲ ایستگاه در دو فاز ۲۴ ساعته اندازه‌گیری شده‌اند. بخش غربی شبکه ایران در روزهای ۲۵۹-۲۶۲ و بخش شرقی در روزهای ۲۶۶-۲۶۹ اندازه‌گیری شد. سه روز هم برای جابه‌جایی گیرندها و تیم‌های مشاهداتی بین دو فاز در نظر گرفته شد [۱۴]. در ۶ ایستگاه، اندازه‌گیری در تمام طول مدت مشاهدات انجام گرفت. این اندازه‌گیری‌ها

1. International GNSS Service for Geodynamics
2. Scripts Orbit and Permanent Array Center

۲۰۰۱ و ۲۰۰۵ و ۲۰۰۵ میلادی اندازه‌گیری شد [۱۴، ۱]. این شبکه متشکل از ۲۸ ایستگاه موردنی GPS است که سراسر کشور را پوشش می‌دهد. شکل ۱ توزیع مکانی نقاط این شبکه را نشان می‌دهد. مشاهدات این شبکه در روزهای ۲۵۹-۲۶۴ از سال ۱۹۹۹ و ۲۸۰-۲۹۱ از سال ۲۰۰۱ و ۲۶۴-۲۷۳ از سال ۲۰۰۵ به وسیله سازمان نقشه‌برداری انجام شده است. به منظور اتصال این شبکه به شبکه IGNSS^۱ مشاهدات ۵ ایستگاه از این شبکه که توزیع هندسی نسبتاً منظمی دارند (تقریباً به زوایا و فواصل مساوی از مرکز ایران)، از طریق سرویس SOPAC^۲ دریافت شد و به همراه مشاهدات این شبکه پردازش گردید. استفاده از ایستگاه‌های شبکه IGNSS در پردازش، امکان استفاده از موقعیت و سرعت حرکت این نقاط را در فریم ITRF فراهم می‌سازد و در نتیجه مشکل سیستم مختصات را در برآورد میدان سرعت مرتفع می‌کند [۱۵]. شکل ۲ توزیع مکانی ایستگاه‌های IGS مورد استفاده در این تحقیق را نشان می‌دهد.



شکل ۱. ایستگاه‌های GPS موردنی شبکه موسوم به ایران سراسری. نام اختصاری هر ایستگاه در کنار محل ایستگاه نمایش داده شده است.

ایستگاه‌های شبکه موردي ایران سراسری نمایش می‌دهد [۱۴].

۳-۱-۲- مشاهدات سال ۲۰۰۵

مشاهدات این سال طی ۱۲ روز مطابق با جدول «۳-ض» انجام گرفت. در این مشاهدات نیز از گیرنده‌های TRIMBLE Z-XII3 و ASHTECH 4000SSI و آنتن ASHTECH UZ-12 اندازه گیری نیز فاصله زمانی بین اپک‌ها ۳۰ ثانیه است. در این مرحله اندازه گیری شده است. در سه فاز ۲۴ ساعته در این سال ۲۴ ایستگاه که سهم هر فاز ۸ ایستگاه بوده است. همچنین ۶ ایستگاه با تعداد روزهای اندازه گیری ۴ روز یا بیشتر برای اتصال این ۳ فاز در نظر گرفته شدند. بین هر فاز اندازه گیری ۱ روز برای جابه جایی افراد ذی‌ربط و وسائل اندازه گیری در نظر گرفته شد. جدول «۳-ض» تکرار پذیری مشاهدات این مرحله را برای هر یک از ایستگاه‌های شبکه موردي ایران سراسری نمایش می‌دهد.

۳- پردازش داده‌ها با نرم‌افزار GAMIT

این نرم‌افزار یکی از نرم‌افزارهای جامع پردازش مشاهدات GPS و محصول مؤسسه تحقیقاتی MIT است. نرم‌افزار مذکور تحت سیستم عامل خانواده UNIX اجرا می‌شود. از مزیت‌های آن در مقایسه با نرم‌افزارهای تجاری، مواردی چون محاسبه تصحیحات مربوط به پارامترهای مداری، تصحیحات مربوط به جزر و مد خشکی و دریا، تصحیحات مربوط به حرکات صفحات تکتونیکی و مانند اینهاست [۱۶]. در ادامه خلاصه‌ای از استراتژی به کار رفته برای پردازش مشاهدات به کمک این نرم‌افزار ارائه می‌شود.

1. Cut of angle
2. Self centering (Pillar)
3. Tripod
4. Massachusetts Institute of Technology

امکان اتصال دو فاز مشاهداتی این شبکه را فراهم می‌سازند. فاصله زمانی بین اپک‌ها ۳۰ ثانیه است. همچنین برای اجتناب از خطای چندمسیری، حداقل زاویه ارتفاعی مشاهدات^۱ در ایستگاه‌های شبکه بر روی ۱۵ درجه تنظیم شد. استقرار گیرنده‌های GPS به دو صورت سانتراژ خودکار^۲ و سانتراژ به وسیله سه پایه^۳ با شاغل اپتیکی صورت پذیرفت. این موضوع برای ایستگاه‌های اندازه گیری مختلف در جدول «۱-ض» به ترتیب در آخرین ستون این جدول با حروف P و T مشخص شده است [۱۴].

۲-۱-۲- مشاهدات سال ۲۰۰۱

مشاهدات این سال طی ۱۲ روز مطابق با جدول «۲-ض» انجام گرفت. این مشاهدات نیز با استفاده از گیرنده ۴000SSI، ASHTECH Z-XII3 و آنتن ASH701945B_M و آنتن ASHTECH UZ-12 انجام شدند. فاصله زمانی بین اپک‌ها ۳۰ ثانیه است. تمامی ایستگاه‌های شبکه که در سال ۱۹۹۹ اندازه گیری شدند، جز ایستگاه NKS1 (به دلایل امنیتی در کشور ازبکستان) دوباره اندازه گیری گردیدند. تعداد ایستگاه‌هایی که به طور متواالی اندازه گیری شدند در قیاس با سال ۱۹۹۹ افزایش یافته و سه ایستگاه جدید به شبکه ایران سراسری افزوده شده است. بخش غربی شبکه (شامل ۱۰ ایستگاه) بین روزهای ۲۸۴-۲۸۱ و بخش شرقی بین روزهای ۲۸۸-۲۹۱ اندازه گیری شد. در این مرحله از اندازه گیری‌ها، در مجموع ۳۰ ایستگاه اندازه گیری شدند. گفتنی است ۲۷ ایستگاه از مجموعه ایستگاه‌های اندازه گیری شده در این مرحله با ایستگاه‌های اندازه گیری شده در سال ۱۹۹۹ مشترک‌اند. همان‌طور که مشاهده می‌شود، به جز ایستگاه‌های KERM، HAJI و BAZM، KHAS^۴ ترتیب سه و دو روز اندازه گیری شدند، سایر ایستگاه‌ها ۴ روز یا بیشتر اندازه گیری شدند. جدول «۲-ض» تکرار پذیری مشاهدات این مرحله را برای هر یک از

در آن، T_{dry}^z و T_{wet}^z به ترتیب تأخیر زنیتی برای بخش خشک و تر اتمسفرنده، که با استفاده از روابط (۲) و (۳) محاسبه می‌شوند:

$$T_{dry}^z = 10^6 KRP/g_m \quad (2)$$

$$T_{wet}^z = 0/002277(1255/T+0/05)e \quad (3)$$

در این روابط K ضریب شکست، R ثابت گازها برای هوای خشک، P فشار هوا در ایستگاه مورد نظر، g_m شتاب ثقل، T دمای هوا و e فشار بخار آب است، و ϵ زاویه ارتفاعی ماهواره‌ای است که از ایستگاه مورد نظر ردیابی می‌شود. $(\epsilon) m$ تابع نگاشتی است که تأخیر اتمسفری را از مقادیر این تأخیر در زنیت برای امتداد ماهواره مورد نظر به دست می‌دهد. در پردازش این داده‌ها از تابع نگاشت نیل استفاده شده است [۱۹]:

$$m(\epsilon) = \frac{1 + \frac{a}{b}}{\sin(\epsilon) + \frac{1 + c}{a}} \quad (4)$$

در رابطه درج شده، ضرایب a و b و c ضرایب تحریک هستند که برای دو بخش خشک شکست تروپوسفریک و بخش تر آن، جداگانه تعیین می‌شوند. مقادیر دما، فشار و رطوبت برای محاسبه شکست تروپوسفری، با استفاده از یک مدل، با نسبت دادن مقادیری از دما و فشار و رطوبت در ارتفاع صفر، و تخمین آن برای ایستگاه مورد نظر در ارتفاع ایستگاه به دست می‌آیند. مقدار شکست تروپوسفری به دست آمده از این رابطه، مقدار اولیه برای محاسبه مقدار متوسط خطای تروپوسفری در طول یک جلسه^۱ در سرشکنی است. همچنین تغییرات خطای تروپوسفری از این مقدار متوسط، به صورت هر ۱ ساعت یک بار، با استفاده از یک تابع خطی تخمین زده می‌شود. مدل مورد استفاده، مدل گوس - مارکو مرتبه اول^۲ است.

1. session

2. First order Gauss Markov process

در تعیین موقعیت با سیستم GPS، ماهواره‌ها نقش نقاط معلوم را دارند. براساس قانون انتشار خطاهای، از آنجا که خطای موقعیت نقاط معلوم مستقیماً به نقاط مجهول انتقال می‌یابد، در تعیین موقعیت دقیق می‌باشد موقعیت مداری ماهواره‌ها با دقت بالای تعیین گردد. در این نرمافزار مدار ماهواره‌ها با انتگرال گیری عددی یک مدل نیرو شامل تأثیرات جاذبه ماه و خورشید بر روی ماهواره‌ها، مدل میدان جاذبه زمین (IGS92) و همچنین یک مدل ۹ پارامتری (موسوم به مدل BERNE) برای تشعشعات خورشیدی به دست می‌آید [۱۷]. با استفاده از مقادیر به دست آمده برای مدار ماهواره‌ها و مقادیر اولیه مختصات ایستگاه‌ها، و نیز با به کارگیری پارامترهای دوران زمین و مقادیر پرسشن و نویشن محور دوران زمین از مدل IAU76 محاسبه می‌گردد [۱۸]. این نرمافزار مقادیر اولیه مشاهدات فاز را برای دو موج حامل L_1 و L_2 بین هر زوج ایستگاه - ماهواره محاسبه می‌کند. سپس مقادیر محاسبه شده از مقادیر مشاهده شده فاز موج حامل کم می‌شود تا مقادیر اولیه باقیمانده‌ها (از طریق مدل پارامتریک غیرخطی) محاسبه گردد. در ادامه، با استفاده از ترکیبات دو تقاضلی و به روش کمترین مربعات مختصات ایستگاه‌ها، پارامترهای مداری ماهواره‌ها و پارامترهای ابهام فاز با تخصیص وزن مناسب به اندازه‌گیری‌ها تخمین زده می‌شوند. برای این منظور، ترکیب عاری از یونوسفر مورد استفاده قرار می‌گیرد. برای تأثیرات اتمسفری، این نرمافزار پارامتر متوسطی را برای کل مدت اندازه‌گیری تخمین می‌زند و اختلاف از این مقدار متوسط را خطی فرض می‌کند و پارامترهای این مدل خطی را هر یک ساعت برآورد می‌کند [۱۶]. در این تحقیق از مدل Saastamoinen برای این منظور استفاده شده است. در این مدل برای محاسبه خطای اتمسفری از رابطه (۱) استفاده می‌شود:

$$(1)$$

$$ATMDEL(\epsilon) = T_{dry}^z \times m(\epsilon) + T_{wet}^z \times m(\epsilon)$$

مشاهدات دوتفاصلی^۳ پارامترهای ژئودتیک و اتمسفری و پارامترهای دوران زمین با تحمیل قیود شل^۴ بر پارامترها، تخمین زده می‌شوند. در این مرحله از ۵ ایستگاه IGNSS شکل ۲ به منظور انتقال شبکه ایران به فریم مرجع 2000 ITRF استفاده شده است.

در مرحله دوم با استفاده از برنامه کالمن فیلتر GLOBK) نتایج حاصل از پردازش روزانه، به منظور تخمین متوسط مختصات ایستگاه‌ها در طول مدت اندازه‌گیری، با هم ترکیب می‌شوند. همچنین در این مرحله از پردازش به منظور تعریف فریم مرجع، نتایج حاصل از پردازش‌های روزانه زیرشبکه‌های EURA، IGS1، IGS2، IGS3 از شبکه IGNSS با نتایج حاصل از پردازش روزانه ترکیب می‌شود [۲۳].

در مرحله سوم به منظور تعریف فریم مرجع مورد نیاز برای تخمین میدان سرعت شبکه ایران، ۶ پارامتر مربوط به سرعت دوران و سرعت انتقال شبکه با توجه به فریم مرجع ITRF2000، با استفاده از کمینه کردن مجموع مربعات تصحیحات سرعت ۱۰ ایستگاه IGNSS، تخمین زده می‌شود [۲۳].

در سوشنکنی مشاهدات فاز، وزن دهی به مشاهدات بر اساس زاویه ارتفاعی ماهواره‌ها صورت پذیرفته است و پیش‌فرض آن به گونه‌ای است که وزن یک مشاهده در زاویه ۴۰ درجه ارتفاعی، برابر با مقدار ۱۰ با واحد عکس میلی‌متر و وزن یک مشاهده در ۲۰ درجه ارتفاعی برابر با نصف این مقدار باشد [۱۶].

تغییرات مرکز فاز آنتن گیرنده بر حسب زاویه ارتفاعی و آزیموت ماهواره‌ها، مدل و وارد محاسبات شده است. برای این منظور مقادیر انحراف مرکز فاز آنتن در قالب یک جدول برای مقادیر زاویه ارتفاعی و آزیموت مختلف ماهواره‌ها، در نرم‌افزار استفاده می‌شود [۱۶].

1. Correlation time
2. White noise
3. Double difference
4. Loosly constraint

به کارگیری این مدل باعث خواهد شد تا پیوستگیتابع خطی در مرز (نقاط گروهی) حفظ گردد [۱۹]. رابطه زیر به رابطه گوس - مارکوف مرتبه اول معروف است:

$$\frac{d\Delta\nabla d_{Trop}}{dt} = \frac{-\Delta\nabla d_{Trop}(t)}{\tau_{GM}} + w(t) \quad \text{رابطه (۵)}$$

در آن، τ زمان واپستگی^۱ و $w(t)$ خطای سفید^۲ است.

جواب این معادله دیفرانسیل بدین صورت است [۲۰]:

$$\text{رابطه (۶)}$$

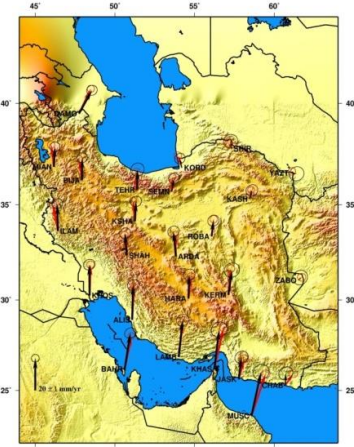
$$\Delta\nabla d_{Trop}(t + \Delta t) = m\Delta\nabla d_{Trop}(t) + (1-m)^{\frac{1}{2}}w(t)$$

$$m = \exp\left(\frac{\Delta t}{\tau}\right) \quad \text{رابطه (۷)}$$

همچنین گرادیان شکست تروپوسفری جمعاً به تعداد ۶ پارامتر (۳ پارامتر شمالی - جنوبی و ۳ تا شرقی - غربی) برای هر ایستگاه در طول هر جلسه از پردازش مشاهدات تخمین زده می‌شود. این کار تکرارپذیری در مؤلفه افقی مختصات ایستگاه‌ها را افزایش می‌دهد [۲۱].

از آنجا که در سرشکنی مشاهدات فاز بیشترین تعداد مجھولات مربوط به پارامترهای ابهام فاز است، برای بهبود دقت نتایج سعی می‌شود تا مقادیر صحیح این پارامترها مشخص شوند و به عنوان پارامترهای معلوم به مدل ریاضی تعیین موقعیت معرفی گردند. این فرایند اصطلاحاً به حل ابهام فاز معروف است. روش‌های مختلفی برای حل ابهام مشاهدات فاز موج حامل وجود دارد. در اینجا از روش موسوم به تکنیک wide-lane برای حل پارامترهای ابهام فاز استفاده شده است [۱۶، ۲۲].

پردازش مشاهدات فاز با نرم‌افزار GAMIT/GLOBK را می‌توان در ۳ مرحله کلی زیر خلاصه کرد: در مرحله اول (پردازش روزانه) با استفاده از



شکل ۳. میدان سرعت ایستگاه GPS شبکه ایران سراسری در فریم اوراسیا، بردارها نتایج [۱] هستند. بیضی‌های خطأ در سطح اطمینان ۹۵ درصد ترسیم شده‌اند.

بررسی میدان‌های سرعت محاسبه شده در فریم‌های اوراسیا و ITRF2000، نشان می‌دهد که در ایستگاه بحرین سرعت صفحه عربی نسبت به صفحه اوراسیا ۲۳ میلی متر بر سال به دست آمده است. ایستگاه‌های YAZT و ZABO نسبت به صفحه اوراسیا حرکت معنی‌داری ندارند، و این خود نشان می‌دهد که غرب افغانستان (بلوک هلمند^۱) حرکت معنی‌داری نسبت به صفحه اوراسیا ندارد. ایستگاه‌های MIAN، BIJA و SHAH با سرعت یکسان به سمت صفحه اوراسیا حرکت می‌کنند. حال با توجه به اینکه ایستگاه‌های مذکور بر روی بلوک ایران مرکزی واقع شده‌اند، می‌توان نتیجه گرفت که بلوک ایران مرکزی می‌توان نتیجه گرفت که سرعت فروزانش^۲ پلیت اقیانوسی عربی نسبت به ناحیه مکران، (سرعت ایستگاه MUSC نسبت به ایستگاه CHAB) در شرق از ۱۸ میلی متر بر سال تا غرب ۱۵ میلی متر بر سال کاسته می‌شود (سرعت ایستگاه MUSC نسبت به ایستگاه JASK). [۱]

- 1. Cycle slip
- 2. Helmand block
- 3. Subduction

صحت و درستی حل ابهام در فاز با مقایسه بین کمیت فاکتور واریانس در دو حالتی که اعداد ابهام در فاز اعشاری هستند (bias-free) و حالتی که اعداد ابهام در فاز صحیح‌اند (bias-fixed)، ارزیابی می‌شود. در صورت حل صحیح ابهام فاز، کمیت فاکتور واریانس باید تغییرات بس ناچیزی داشته باشد [۹].

برای بررسی کیفیت نتایج حاصل از پردازش‌های روزانه، کمیت ریشه فاکتور واریانس و تصحیحات وارد شده به مختصات ایستگاه مورد ارزیابی قرار می‌گیرد. ریشه فاکتور واریانس باید مقداری تقریباً برابر با ۰/۲۵ داشته باشد. همچنین مقادیر بزرگ‌تر از ۰/۵ در این کمیت نشان‌دهنده جهش فاز^۳ حل نشده در مشاهدات فاز موج حامل است. علاوه بر این، مقدار تصحیح وارد شده به مختصات ایستگاه هم باید کمتر از ۱۰ متر باشد [۱۶].

در پردازش نهایی (استفاده از نرم‌افزار GLOBK) آن دسته از نتایج روزانه‌ای به کار رفته‌اند که ابهام فاز مربوط به آنها حل شده است [۲۳].

۴- نتایج و مقایسه آنها

میدان سرعت محاسبه شده از داده‌های سال ۱۹۹۹ تا ۲۰۰۵ در فریم اوراسیا محاسبه گردیده و در جدول ۱ ارائه شده است. برای بررسی صحت نتایج به دست آمده، اینها با نتایج ماسون و همکاران [۱]، در شکل ۳ مقایسه شده است. علاوه بر این، میدان‌های سرعت محاسبه شده برای بازه زمانی به نمایش درآمده است. این میدان با میدان سرعت حاصل از مدل ژئوفیزیکی NUVEL-1A در شکل ۶ در فریم ITRF2000 مقایسه شده است [۲۴].

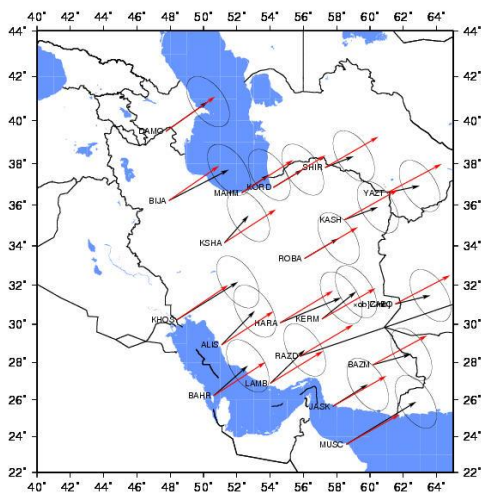
با توجه به انطباق مناسب و در خور قبول میدان‌های سرعت محاسبه شده در این مقاله، و میدان سرعتی که ماسون و همکاران [۱] از داده‌هایی مشابه پیشنهاد می‌کنند، تحلیل مشابهی از بررسی این میدان‌ها انتظار می‌رود. در ادامه، به بررسی موارد مختلف قابل استنتاج از مطالعه این میدان‌ها پرداخته می‌شود.

سرعت مشاهده شده در ایستگاه‌های GPS، از جنوب به شرق از ۴۵ درجه به ۸۵ درجه تغییر می‌کند، در حالی که مدل ژئوفیزیکی، تغییرات ناگهانی در آزمیوت میدان سرعت از جنوب به شرق را نشان می‌دهد. این تفاوت به دلیل صلب در نظر گرفتن صفحات تکتونیکی در تعریف مدل ژئوفیزیکی است. به علاوه، در این مدل تأثیر حرکت صفحه افریقا در نظر گرفته نشده است [۱۴].

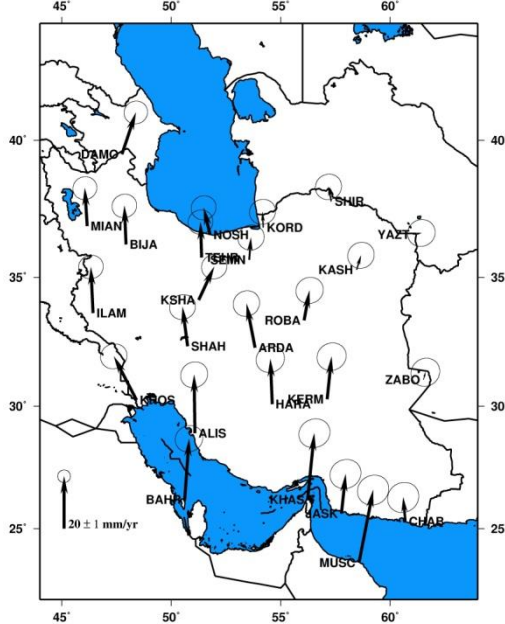
در مقایسه میدان سرعت به دست آمده از مشاهدات GPS با مدل ژئوفیزیکی در شکل (۴ و ۵)، وابستگی نزدیکی در جهت و اندازه میدان سرعت، بین ایستگاه‌هایی که بر روی صفحه عربستان قرار گرفته‌اند (MUSC، KHAS، BAHR، KHOS، ILAM) با شرقی‌ترین ایستگاه‌های شبکه (YAZT، ZABO) که بر روی صفحه اوراسیا قرار گرفته‌اند، مشاهده می‌شود. بین این دو دسته ایستگاه‌ها تغییرات میدان سرعت در دو نگرش متفاوت است. به عبارت دیگر، آزمیوت میدان

جدول ۱. میدان سرعت ایستگاه‌های ایران در فریم EURASI، خطای هر یک از مؤلفه‌های میدان سرعت در سطح اطمینان استاندارد ارائه شده است. V_E ، V_N و V_H به ترتیب مؤلفه‌های بردار سرعت در این فریم؛ σ_E ، σ_N و σ_H انحراف معیار این مؤلفه و σ_{EN} کوواریانس بین دو مؤلفه مسطحاتی بردارهای این میدان سرعت است.

St.	Lon.(°)	Lat. (°)	V_E (mm/y)	σ_E (mm/y)	V_N (mm/y)	σ_N (mm/y)	σ_{EN} (mm/y)	V_H (mm/y)	σ_H (mm/y)
ALIS	51.082	28.919	0.27	1.54	21.9	1.45	0.055	-1.45	2.41
ARDA	53.822	32.313	-1.83	1.51	15.69	1.43	0.053	18.82	2.33
ARTU	58.560	56.430	2.49	0.23	-1.74	0.23	0.016	-2.52	1.99
BAHR	50.608	26.209	4.42	1.56	23.23	1.65	-0.019	1.48	1.38
BIJA	47.930	36.232	-0.26	1.38	14.06	1.32	0.031	-3.11	2.30
CHAB	60.694	25.300	0.00	1.89	7.75	1.70	0.073	0.82	2.82
DAMO	47.744	39.513	7.73	1.38	14.28	1.3	0.045	8.77	2.21
HARA	54.608	30.079	0.18	1.56	14.92	1.47	0.062	13.22	2.62
ILAM	46.427	33.648	-0.70	1.42	17.03	1.32	0.035	-1.82	2.27
JASK	57.767	25.636	1.34	1.75	13.95	1.61	0.069	-2.80	2.85
KASH	58.464	35.293	0.88	1.58	5.38	1.49	0.055	-1.05	2.40
KERM	57.119	30.277	1.94	2.02	15.49	1.87	0.05	6.06	2.97
KHAS	56.233	26.208	2.92	2.16	24.57	1.95	0.06	-35.24	3.32
KHOS	48.409	30.246	-0.49	1.51	19.20	1.41	0.05	6.20	2.42
KORD	54.199	36.860	-1.64	1.38	5.73	1.35	0.047	-66.29	2.43
KSHA	51.255	34.150	0.32	1.45	12.37	1.38	0.047	-2.35	2.3
LAMB	54.004	26.883	2.11	1.69	23.13	1.55	0.054	0.14	3.26
MIAN	46.162	36.908	0.43	1.34	12.43	1.28	0.024	25.75	2.18
MUSC	58.569	23.564	5.97	2.12	27.18	1.99	0.059	31.16	2.81
ROBA	56.070	33.369	-2.03	1.77	9.62	1.70	0.031	16.06	2.31
SEMN	53.564	35.662	1.15	1.40	8.26	1.35	0.048	-0.39	2.42
SHAH	50.748	32.367	-1.50	1.47	13.91	1.39	0.048	-4.54	2.34
SHIR	57.308	37.814	-0.87	1.86	4.72	1.77	0.033	11.33	2.62
TEHR	51.386	35.747	-0.09	1.76	12.78	1.70	0.032	-6.93	2.32
YAZT	61.034	36.601	3.35	1.92	-0.29	1.84	0.039	-1.27	2.81
ZABO	61.517	31.049	0.87	1.95	2.06	1.89	0.052	-2.09	2.59



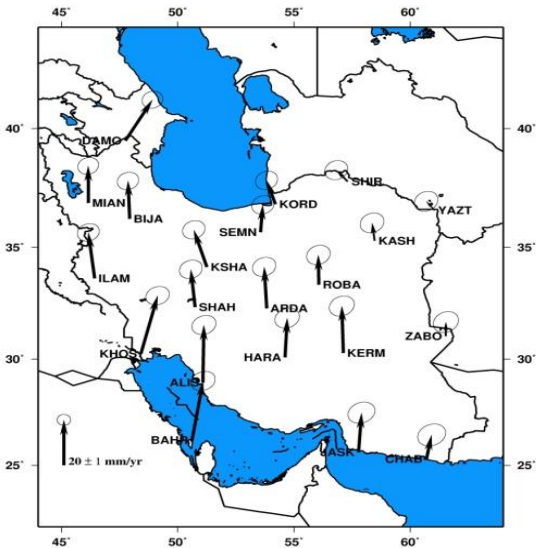
شکل ۶. مقایسه میدان سرعت حاصل از بردازش مشاهدات شبکه ایران سراسری در بازه ۱۹۹۹-۲۰۰۵ با میدان سرعت حاصل از مدل ژئوفیزیکی NUVEL-1A (بردارهای قرمزنگ) در فریم ITRF2000 بیضی‌های خطای اطمینان ۹۵ درصد ترسیم شده‌اند.



شکل ۴. میدان سرعت شبکه ایران بین سال‌های ۱۹۹۹-۲۰۰۱ در فریم اوراسیا. بیضی‌های خطای موقعیت نقاط در سطح اطمینان ۹۵ درصد ترسیم شده‌اند.

۵- آنالیز تحلیلی تغییر شکل ارتفاعی در سطح فلات ایران

آگاهی از روند تغییر شکل ارتفاعی در ایران می‌تواند به درک و تحلیل نتایج حاصل از آنالیز دو بعدی تغییر شکل در کشور کمک کند. علاوه بر این، همان‌گونه که در مقدمه این مقاله اشاره شد، دستیابی به الگوی تغییر شکل ارتفاعی مناسب و پذیرفتی برای کشور نخستین گام برای ارزیابی پتانسیل شبکه ترازیابی کشور مشتمل بر ۸۰۰۰ کیلومتر مسیر ترازیابی که ۳۰۵۰۰ کیلومتر آن ترازیابی درجه یک است) برای آشکارسازی روند تغییر شکل‌های زمین به عنوان یکی از ابزارهای مؤثر در پیش‌آگهی از عواقب جانی و مالی ناشی از این تغییرات بهشمار می‌آید. توجه به واقعیت‌هایی چون مدت زمان طولانی لازم برای انجام یا تکرار مشاهدات شبکه ترازیابی دقیق سراسری (دور اول ۱۷ سال و دور دوم ۹ سال) از یک سو، و هزینه بالای تکرار مشاهدات این شبکه از سوی دیگر، اهمیت اطمینان از توان و پتانسیل کافی این شبکه را برای



شکل ۵. میدان سرعت شبکه ایران بین سال‌های ۲۰۰۱-۲۰۰۵ در فریم اوراسیا. بیضی‌های خطای موقعیت نقاط در سطح اطمینان ۹۵ درصد ترسیم شده‌اند.

$$H = \frac{1}{2} L_{\alpha\beta} f^{\alpha\beta}, \quad \alpha, \beta \in \{1, 2\} \quad (12)$$

همچنین می‌توان نشان داد که تغییرات این معیار انحنا از رابطه (۱۳) محاسبه می‌شود [۱۲].

$$\text{رابطه (۱۳)}$$

$$\delta H = (\bar{f}_{\alpha\beta} \bar{L}_{\alpha\beta} - f_{\alpha\beta} L_{\alpha\beta}) / 2 = f_{\alpha\beta} \delta L_{\alpha\beta} + \bar{L}_{\alpha\beta} \delta f_{\alpha\beta}$$

که در آن

$$\text{رابطه (۱۴)}$$

$$\delta f_{\alpha\beta} = \bar{f}_{\alpha\beta} - f_{\alpha\beta} = x_{i,\alpha} z_{i,\beta} + x_{i,\beta} z_{i,\alpha} + \dots = \varepsilon_{\alpha\beta}$$

$$\text{رابطه (۱۵)}$$

$$\begin{aligned} \delta L_{\alpha\beta} &= \bar{L}_{\alpha\beta} - L_{\alpha\beta} = \\ &\varepsilon_{ijk} \left[x_{j,1} x_{k,2} z_{i,\alpha\beta} + (x_{j,1} z_{k,2} + x_{k,2} z_{j,1}) \right] / f^{1/2} \\ &+ L_{\alpha\beta} \delta f / 2f \end{aligned}$$

در رابطه (۱۴) $\varepsilon_{\alpha\beta}$ تنسور تغییر شکل با سه مؤلفه $\varepsilon_{11} = \varepsilon_{22}$ و $\varepsilon_{12} = \varepsilon_{21}$ است. می‌توان نشان داد که در سیستم مختصات بیضوی با مختصات منحنی الخط

$$u^\alpha = (\lambda, \phi), \quad \alpha \in \{1, 2\}$$

$$\begin{aligned} f_{\alpha\beta} &= \left[(R_1 + H)^2 \cos^2 \phi + (H_{,1})^2 \right] \delta_\alpha^1 \delta_\beta^1 \\ &+ \left[\delta_\alpha^1 \delta_\beta^2 + \delta_\alpha^2 \delta_\beta^1 \right] H_{,1} H_{,2} + \quad (16) \\ &\left[(R_1 + H)^2 + (H_{,2})^2 \right] \delta_\alpha^2 \delta_\beta^2 \end{aligned}$$

$$\begin{aligned} x_{i,1} z_{i,1} &= \left[z_{i,1}^1 + (\Gamma_{1a}^1 + \Gamma_{3a}^1 H_{,1}) z^a \right] g_{11} + \quad (17) \\ &\left[z_{i,1}^3 + (\Gamma_{1a}^3 + \Gamma_{3a}^3 H_{,1}) z^a \right] H_{,1} \end{aligned}$$

$$\begin{aligned} x_{i,1} z_{i,2} &= \left[z_{i,2}^1 + (\Gamma_{2a}^1 + \Gamma_{3a}^1 H_{,2}) z^a \right] g_{11} + \quad (18) \\ &\left[z_{i,2}^3 + (\Gamma_{2a}^3 + \Gamma_{3a}^3 H_{,2}) z^a \right] H_{,2} \end{aligned}$$

$$\begin{aligned} x_{i,2} z_{i,1} &= \left[z_{i,1}^2 + (\Gamma_{1a}^2 + \Gamma_{3a}^2 H_{,1}) z^a \right] g_{22} + \quad (19) \\ &\left[z_{i,1}^3 + (\Gamma_{1a}^3 + \Gamma_{3a}^3 H_{,1}) z^a \right] H_{,2} \end{aligned}$$

1. Permutation Tensor

اساس، مطالعه تغییر شکل‌های ارتفاعی پوسته زمین در فلات ایران و تعیین الگویی بدین منظور، امری ضروری و اجتناب‌ناپذیر تلقی می‌شود.

در تئوری تحلیلی آنالیز تغییر شکل، تغییر شکل سطحی پوسته زمین از طریق مطالعه تغییرات فرم‌های اساسی اول و دوم گوس صورت می‌پذیرد [۱۲]. چنانچه ($\alpha \in \{1, 2\}$) $x_i(u^\alpha)$ و $\bar{x}_i(u^\alpha)$ موقعیت نقاط P از رویه F در لحظات t و \bar{t} در دو سیستم مختصات S و \bar{S} باشند، واضح است که چنانچه:

$$S \equiv \bar{S}$$

$$z_i(u^\alpha) = \bar{x}_i(u^\alpha) - x_i(u^\alpha) \quad (8)$$

جایه‌جایی نقاط P است. در این رابطه u^α مختصات منحنی الخط نقاط P در سیستم مختصات منحنی الخط اختیاری است. در این صورت، دو فرم اساسی اول و دوم گوس به ترتیب عبارت‌اند از [۱۳]:

$$f_{\alpha\beta} = x_{i,\alpha} x_{i,\beta}, \quad \bar{f}_{\alpha\beta} = \bar{x}_{i,\alpha} \bar{x}_{i,\beta} \quad (9)$$

$$\text{رابطه (۱۰)}$$

$$L_{\alpha\beta} = \varepsilon_{ijk} x_{j,1} x_{k,2} f^{-1/2}, \quad \bar{L}_{\alpha\beta} = \varepsilon_{ijk} \bar{x}_{j,1} \bar{x}_{k,2} \bar{f}^{-1/2}$$

در این روابط به عنوان مثال $f_{\alpha\beta}$ و $\bar{f}_{\alpha\beta}$ به ترتیب فرم اساسی اول در دو سیستم مختصات S و \bar{S} و $L_{\alpha\beta}$ به ترتیب فرم اساسی دوم در دو سیستم مختصات مذکور و ε_{ijk} تنسور پرموتیشن^۱ است که به صورت زیر تعریف می‌شود:

$$\varepsilon_{ijk} = \varepsilon^{ijk} = \begin{cases} +1 & \text{if } i, j, k \text{ are cyclic} \\ -1 & \text{if } i, j, k \text{ are anticyclic} \\ 0 & \text{if } i, j, k \text{ are acyclic} \end{cases} \quad (11)$$

با استفاده از دو فرم اساسی اول و دوم گوس به ترتیب انحنای متوسط رویه F از رابطه (۱۲) به دست می‌آیند:

علاوه بر این، در صورتی که داده‌های ورودی دارای پوشش مکانی مناسب نباشند، الگوی تغییر شکل ارتفاعی تعیین شده از این طریق می‌تواند از درون یابی میدان‌های سرعت و ارتفاع نقاط شبکه تأثیر بپذیرد. در این تحقیق از تغییرات انحنای متوسط پوسته زمین به عنوان معیاری برای تشخیص الگوی تغییر شکل ارتفاعی سطحی پوسته در فلات ایران استفاده شده است. برای این منظور، در ابتدا شبکه‌ای منظم با پوشش مکانی $1/10$ درجه در محدوده طول و عرض جغرافیایی ایران تولید شد. سپس ارتفاع نقاط شبکه و بردارهای سرعت مسطحاتی و ارتفاعی، و همچنین مشتقات مورد نیاز درون یابی شدند. از آنجا که تغییر شکل در هر نقطه از جسمی تغییر شکل پذیر متأثر از تغییر شکل ایجاد شده در سایر نقاط آن است، به طوری که نقاط نزدیک به نقطه مورد نظر تأثیر بیشتری بر تغییر شکل این نقطه دارند، توجه به چگونگی توزیع نقاط شبکه در این مرحله از محاسبات بس پُر اهمیت است. در این مقاله، ویژگی یاد شده با استفاده از کرنلی که تابعی نمایی از فاصله نقاط مختلف شبکه از نقطه مورد نظر است، در فرایند درون یابی پارامترهای مذکور به روش کولوکیشن^۱ [۳۰، ۳۱، ۳۲] در نظر گرفته شده است. برای جزئیات بیشتر در این زمینه ن.ک. منبع [۱۲] صفحه‌های ۴۴ تا ۴۹ در ادامه تغییر انحنای سطحی پوسته زمین محاسبه شد و از این طریق الگوی پیوسته‌ای از تغییر شکل در کشور به دست آمد. برای این منظور مجموعه برنامه‌هایی به زبان برنامه‌نویسی فرتون تهیه شد، که فایل اجرایی آنها را، همراه با راهنمایی که مراحل تهیه فایل‌های ورودی مورد نیاز در مراحل مختلف محاسباتی یاد شده، را در بر می‌گیرد، می‌توان ارائه کرد. شکل ۷ نتیجه این محاسبات را نمایش می‌دهد. در این شکل خطوط هم‌تراز معرف نقاط با تغییرات انحنای مشابه است.

1. Collocation

$$x_{i,2}z_{i,2} = \left[z_{i,2}^1 + (\Gamma_{2a}^1 + \Gamma_{3a}^1 H_{i,2}) z^a \right] g_{22} + \left[z_{i,2}^3 + (\Gamma_{2a}^3 + \Gamma_{3a}^3 H_{i,2}) z^a \right] H_{i,2} \quad (20)$$

که در آن به عنوان مثال $H_{i,1} = \partial H / \partial u^1 = \partial H / \partial \lambda$ بودار جایه‌جایی با سه مؤلفه z^1, z^2 و z^3 به ترتیب مشابه مثلاً $\Gamma_{ab}^c = \partial z^c / \partial u^2 = \partial z^c / \partial \phi$ می‌باشد. $R_1 = c/V$ می‌باشد. $V = (1 - e^2)^{1/2}$ ، $c = a^2/b$ ، $R_2 = c/V^3$ ، $a = \sqrt{(a^2 - b^2)}/b$ نصف قطر بزرگ‌تر و b نصف قطر کوچک‌تر بیضوی مرجع مورد استفاده و g_{ab} تنسور متريک در سистем مختصات بیضوی است که از رابطه زير به دست مي‌آيد:

$$g_{ab} = (R_1 + H)^2 \cos^2 \phi \delta_a^1 \delta_b^1 + (R_2 + H)^2 \delta_a^2 \delta_b^2 + \delta_a^3 \delta_b^3 \quad (21)$$

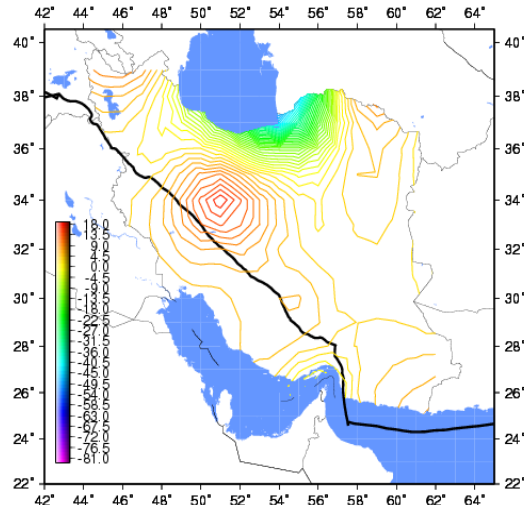
$$\Gamma_{ab}^c = g^{cd} (g_{ad,b} + g_{bd,a} - g_{ab,d})/2 \quad (22)$$

برای مشتقات تنسور متريک نسبت به سه مؤلفه مختصاتی $\{a, b, c\}$ در اين روابط می‌توان به [۱۲] و [۱۳] مراجعه کرد.

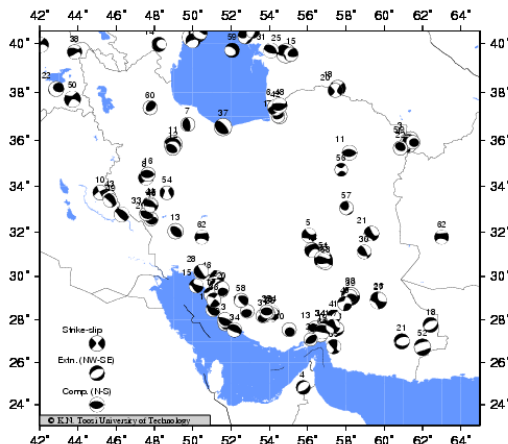
همان‌گونه که از روابط نوشته شده می‌توان ديد، در تئوري تحليلي آنالیز تغیير شکل بررسی تغیيرات فرم اساسی اول به مطالعه تغیير شکل مسطحاتی پوسته زمین و بررسی تغیيرات فرم اساسی دوم از طريق يكى از معيارهای ممکن همچون تغیير انحنای متوسط سطح زمین، به اطلاعاتی در خصوص تغیير شکل ارتفاعی پوسته زمین منتهی می‌گردد.

انحنای سطحی پوسته زمین اين ویژگی مهم را دارد که كميتي ناورداست. بنابراین تغیيرات آن متأثر از تغیيرات احتمالي سیستم مختصات مورد استفاده نخواهد بود. این ویژگی مزيتی عمدی برای این روش در مقایسه با سایر روش‌های مورد استفاده در تشخيص الگوی تغیير شکل ارتفاعی محسوب می‌شود [۲۸، ۲۹].

تغییرات مثبت اینجا به منزله بالا آمدگی^۱ و تغییرات منفی آن به منزله نشست^۲ در محدوده مورد نظر است.



شکل ۷. الگوی تغییر شکل ارتفاعی در کشور حاصل از مشاهدات GPS شبکه موردي مرسم به ایران سراسری. نتایج نمایش داده شده در 10° ضرب شده است. امتداد مرز صحفات تکتونیکی عربی و اوراسیا با خط مشکی رنگ توپر نمایش داده شده است.



شکل ۸. سازوکار کانونی زمین‌لرزه‌ای که در بازه زمانی مشاهدات این تحقیق ثبت و تعیین شده‌اند.
اعداد نمایش داده شده در کنار هر سازوکار کانونی، بزرگ آن زمین‌لرزه است.

این الگوی تغییر شکل نخستین تصویر جامع از تغییر شکل ارتفاعی در سراسر فلات ایران است. در اولین نگاه، در این الگو تغییر شکل ارتفاعی در ایران متشکل از مجموعه پیچیده‌ای از تغییر شکل‌های ارتفاعی محلی پیش‌بینی می‌گردد. با این حال، شناخت دقیق محدوده هر یک این حوزه‌ها مستلزم استفاده از شبکه‌ای با تراکم مناسب‌تر از نقاط اندازه‌گیری است.

1. Uplift
2. Settlement
3. Subduction Zone

به دلیل تراکم نامناسب ایستگاه‌های شبکه ایران سراسری، الگوی تغییر شکل ارتفاعی محاسبه شده در فلات ایران به کمک نتایج داده‌های این شبکه، از درون یابی میدان سرعت مربوط به آن تأثیر پذیرفته است. با این حال جزئیات مندرج در این نتایج، انتباقي در خور قبول را با ویژگی‌های زمین‌ساختی ایران نمایش می‌دهد. به عنوان مثال، می‌توان به تمایز الگوی تغییر شکل ارتفاعی در امتداد سلسله جبال البرز و زاگرس اشاره کرد. تفاوت الگوی تغییر شکل ارتفاعی در محدوده فروزانش^۳ مکران، نتیجه سازوکار متفاوت تغییر شکل فلات ایران در محدوده این منطقه به نظر می‌رسد.

بررسی سازوکار کانونی زمین‌لرزه‌ای که در بازه زمانی مشاهدات این شبکه رخ داده‌اند، نشان می‌دهد

تعیین الگوی تغییر شکل ارتفاعی سطح پوسته ...

مسعود مشهدی حسینعلی و حمیدرضا حیدری

- ضمیمه ۷

جدول ۱- خ. تکرارپذیری مشاهدات سال ۱۹۹۹: ایستگاه‌های شبکه ایران با IR و ایستگاه‌های شبکه IGS با مشخص شده است.

ایستگاه			259	260	261	262	263	264	265	266	267	268	269	Pillar/Tripod
ARTU	IGS	11	×	×	×	×	×	×	×	×	×	×	×	P
BAHR	IGS	11	×	×	×	×	×	×	×	×	×	×	×	P
ZECK	IGS	11	×	×	×	×	×	×	×	×	×	×	×	P
AMMN	IGS	11	×	×	×	×	×	×	×	×	×	×	×	P
KIT3	IGS	8	×	×	×	×	×	×	×	×	×	–	–	P
KHAS	IR	11	×	×	×	×	×	×	×	×	×	×	–	T
MUSC	IR	11	×	×	×	×	×	×	×	×	–	–	–	P
NKS1	IR	10	–	–	–	–	–	–	–	–	–	–	–	T
SHIR	IR	10	–	–	–	–	–	–	–	–	–	–	–	P
TEHR	IR	5	–	–	–	–	–	–	–	–	–	–	–	P
ZABO	IR	10	–	–	–	–	–	–	–	–	–	–	–	P
ALIS	IR	4	–	–	–	–	–	–	–	–	–	–	–	P
NOSH	IR	4	–	–	–	–	–	–	–	–	–	–	–	P
ARDA	IR	4	–	–	–	–	–	–	–	–	–	–	–	P
BIJA	IR	4	–	–	–	–	–	–	–	–	–	–	–	P
DAMO	IR	4	–	–	–	–	–	–	–	–	–	–	–	P
ILAM	IR	4	–	–	–	–	–	–	–	–	–	–	–	P
KHOS	IR	4	–	–	–	–	–	–	–	–	–	–	–	P
KSHA	IR	4	–	–	–	–	–	–	–	–	–	–	–	T
SHAH	IR	4	–	–	–	–	–	–	–	–	–	–	–	T
MIAN	IR	4	–	–	–	–	–	–	–	–	–	–	–	P
LAMB	IR	4	–	–	–	–	–	–	–	–	–	–	–	T
YAZT	IR	4	–	–	–	–	–	–	–	–	–	–	–	P
BAZM	IR	4	–	–	–	–	–	–	–	–	–	–	–	T
CHAB	IR	4	–	–	–	–	–	–	–	–	–	–	–	P
HAJI	IR	4	–	–	–	–	–	–	–	–	–	–	–	P
HARA	IR	4	–	–	–	–	–	–	–	–	–	–	–	T
JASK	IR	4	–	–	–	–	–	–	–	–	–	–	–	P
KASH	IR	4	–	–	–	–	–	–	–	–	–	–	–	P
KERM	IR	4	–	–	–	–	–	–	–	–	–	–	–	T
ROBA	IR	4	–	–	–	–	–	–	–	–	–	–	–	P
KORD	IR	4	–	–	–	–	–	–	–	–	–	–	–	P
SEMN	IR	4	–	–	–	–	–	–	–	–	–	–	–	P

جدول ۲- ض. تکرارپذیری مشاهدات سال ۲۰۰۱: ایستگاه‌های شبکه ایران با IR و

ایستگاه‌های شبکه IGS مشخص شده است.

ایستگاه			280	281	282	283	284	285	286	287	288	289	290	291
ARTU	IGS	12	x	x	x	x	x	x	x	x	x	x	x	x
AMMN	IGS	9	x	x	x	x	x	x	x	x	x			
BAHR	IGS	10	x	x	x	x	x	x	x	x	x	x		
KIT3	IGS	12	x	x	x	x	x	x	x	x	x	x	x	x
ZECK	IGS	12	x	x	x	x	x	x	x	x	x	x	x	x
MUSC	IR	10		x	x	x	x	x	x	x	x	x	x	x
TEHN	IR	11		x	x	x	x	x	x	x	x	x	x	x
ZABO	IR	11		x	x	x	x	x	x	x	x	x	x	x
KASH	IR	12	x	x	x	x	x	x	x	x	x	x	x	x
AHVA	IR	11		x	x	x	x	x	x	x	x	x	x	x
ALIS	IR	12	x	x	x	x	x	x	x	x	x	x	x	x
ARDA	IR	12	x	x	x	x	x	x	x	x	x	x	x	x
TEHR	IR	4		x	x	x	x	x						
KSHA	IR	4		x	x	x	x	x						
LAMB	IR	4		x	x	x	x	x						
MIAN	IR	4		x	x	x	x	x						
NOSH	IR	4		x	x	x	x	x						
SHAH	IR	4		x	x	x	x	x						
BIIJA	IR	4		x	x	x	x	x						
ILAM	IR	4		x	x	x	x	x						
DAMO	IR	4		x	x	x	x	x						
KHOS	IR	4		x	x	x	x	x						
BAZM	IR	3							x	x	x			
HARA	IR	4							x	x	x	x		
JASK	IR	4							x	x	x	x		
KERM	IR	2							x	x				
KHAS	IR	4								x	x	x	x	
KORD	IR	4							x	x	x	x		
ROBA	IR	4							x	x	x	x		
SEMN	IR	4							x	x	x	x		
SHIR	IR	4							x	x	x	x		
YAZT	IR	4							x	x	x	x		
HAJI	IR	2								x	x			

تعیین الگوی تغییر شکل ارتفاعی سطح پوسته ...

مسعود مشهدی حسینعلی و حمیدرضا حیدری

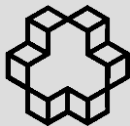
جدول ۳- ض. تکرارپذیری مشاهدات سال ۲۰۰۵: ایستگاه‌های شبکه ایران با IR و ایستگاه‌های شبکه IGS مشخص شده است.

ایستگاه			261	262	263	264	265	266	267	268	269	270	271	272	273
ARTU	IGS	13	×	×	×	×	×	×	×	×	×	×	×	×	×
DRAG	IGS	13	×	×	×	×	×	×	×	×	×	×	×	×	×
BAHR	IGS	13	×	×	×	×	×	×	×	×	×	×	×	×	×
KIT3	IGS	13	×	×	×	×	×	×	×	×	×	×	×	×	×
ZECK	IGS	13	×	×	×	×	×	×	×	×	×	×	×	×	×
KERM	IR	4	×	×	×	×									
ZABO	IR	5	×	×	×	×	×								
HAJT	IR	5						×	×	×	×	×			
ROBA	IR	5						×	×	×	×	×			
SARB	IR	4									×	×	×	×	
ARDA	IR	4									×	×	×	×	
BAZM	IR	3	×	×	×										
KASH	IR	3	×	×	×										
ESFA	IR	3	×	×	×										
ILAM	IR	3	×	×	×										
MIAN	IR	3	×	×	×										
KORD	IR	3	×	×	×										
LAMB	IR	3	×	×	×										
SEMN	IR	3	×	×	×										
CHAB	IR	3						×	×	×					
DAMO	IR	3						×	×	×					
KSHA	IR	3						×	×	×					
KHOS	IR	3						×	×	×					
RAZD	IR	3						×	×	×					
SHIR	IR	3						×	×	×					
SHKH	IR	3						×	×	×					
ZVNG	IR	3						×	×	×					
ALIS	IR	3									×	×	×		
HARA	IR	3									×	×	×		
JASK	IR	3									×	×	×		
KHSF	IR	3									×	×	×		
SHAH	IR	3									×	×	×		
YAZT	IR	3									×	×	×		

- منابع

- [1] Masson F., J. C. D. Hatzfeld, J. Martinod, P. Vernant, F. Tavakoli and M. Ghafory-Ashtiani, 2005. *Seismic Versus Aseismic Deformation in Iran Inferred from Earthquakes and Geodetic Data*. *Geophys J. Int.* 160, 217-226.
- [2] Lichtenegger, H. and H. Sünkel, 1989. *Mathematische-Geophysikalische Model, in Österreichische Beiträge zum Wegener-Medals-Projekt*. Mitteilungen der Geodätischen Institute der Technischen Universität Graz, 65, 61-80.
- [3] Jackson, J., and D., McKenzie, 1988. *The Relationship between Plate Motions and Seismic Moment Tensors, and the Rates of Active Deformation in Mediterranean and Middle East*. *Geophys J. Int.*, 93(1),45-73, doi: 10.1111/j.1365-246X.1988.tb01387.x
- [4] Frank, F.C., 1966. *Deduction of Earth Strains from Survey Data*. *Bull, Seismol. Soc. Am.*, 56, 35-42.
- [5] Welsch, W., 1979. *A Review of the Adjustment of Free Networks*. *Surv. Rev.* 194(25), 167-180.
- [6] Bibby, H.M., 1982. *Unbiased Estimate of Strain from Triangulation Data Using the Method of Simultaneous Reduction*. *Tectonophysics*, 82, 161-174.
- [7] Chen, R., 1991. *On the Horizontal Crustal Deformations in Finland*. Helsinki, Finish Geodetic Institute.
- [8] Krumm, F. and E. Grafarend, 2002. *Datum-free Deformation Analysis of ITRF Networks*. *Artificial Satellites*, 37, 75-84.
- [9] Hossainali, M.M., 2006. *A Comprehensive Approach to the Analysis of the 3D-Kinematics of Deformation*. Darmstadt University of Technology, Darmstadt, Ph.D. Thesis, 150 pp.
- [10] Amerian Y., 2002. *Investigating Systematic Errors in Precise Digital Leveling*. M.Sc. Thesis, K.N. Toosi University of Technology, Faculty of Geodesy and Geomatics Engineering, Tehran, Iran.
- [11] Vosooghi B., 1994. *An Investigation of Systematic Errors in Precise Leveling Network of Iran*. M.Sc. Thesis, Department of Geodesy and Geomatics Engineering, K.N. Toosi University of Technology, Tehran, Iran.
- [12] Altiner, Y., 1999. *Analytical Surface Deformation Theory*. Springer, ISBN: 3-540-65820-3 .
- [13] Heitz, S., 1988. *Coordinates in Geodesy*. Springer, Berlin Heidelberg New York.
- [14] Nilforoushan, F., F. Masson, P. Vernant, C. Vigny, J. Martinod, M. Abbassi, H. Nankali, D. Hatzfeld, R. Bayer, F. Tavakoli, A. Ashtiani, E. Doerflinger, M. Daignières, P. Collard, and J. Chéry, 2003. *GPS Network Monitors the Arabia-Eurasia Collision Deformation in Iran*. *J. Geodesy*, 77, 411-422.
- [15] Altamimi, Z., P. Sillard and C. Boucher, 2002. *ITRF 2000: A New Release of the International Terrestrial Reference Frame for Earth Science Applications*. *J. Geophys. Res.*, 107 (B10), 2214, doi: 10.1029/2001JB000561.
- [16] Herring, T.A., R.W. King and S.C. McClusky, 2004. *GPS Analysis at MIT*. Gamit Reference Manual, Release 10.3, Department of Earth, Atmospheric, and Planetary Sciences Massachusetts Institute of Technology, Cambridge.
- [17] Beutler G., Brockmann, E., Gurtner W., Hugentobler, U., Mervart L. and Rothacher, M., 1994. *Extended Orbit Modeling Techniques at the CODE Processing Center of the International GPS Service for Geodynamics (IGS)*. Theory and initial results, 19, 367-386.
- [18] McCarthy, D.D., 1992. *IERS Standards*. IERS Technical Notes, Central Bureau of IERS observatoire de Paris.
- [19] Shen, C., 2004. *A Method for Processing Data from a Regional Continuous Crustal Deformation GPS Monitoring Network*.

- M.Sc. E. Thesis, Department of Geodesy and Geomatics Engineering, University of New Brunswick, Technical Report No. 221.
- [20] Zhang, J., 1999. *Investigations into the Estimation of Residual Tropospheric Delays in a GPS Network*. Department of Geomatics Engineering, Alberta, Canada, Calgary, M.Sc. Thesis, 185pp.
- [21] Rothacher, M., S. Schaer et al., 1995. *Determination of Antenna Phase Center Variations Using GPS Data*. Paper presented at the 1995 IGS Workshop, Potsdam, Germany.
- [22] Jonge, P. J., 1998. *A Processing Strategy for the Application of the GPS in Networks*. Publications on Geodesy in the continuation of Publications on Geodesy New Series, Published by: NCG Nederlands Commissie voor Ceodesie Netherlands Geodetic Commission, Delft, The Netherlands, Ph.D. Thesis, 250pp.
- [23] Herring, T.A., R.W. King and S.C. McClusky, 2003. *Global Kalman Filter VLBI and GPS Analysis Program*. Globk Reference Manual, Release 10.3. Department of Earth, Atmospheric, and Planetary Sciences Massachusetts Institute of Technology, Cambridge.
- [24] DeMets, C., R. G. Gordon, D. F. Argus and S. Stein, 1994. *Effect of Recent Revisions to the Geomagnetic Reversal Time Scale on Estimates of Current Plate Motions*. *Geophys. Res. Lett.*, 21(20), 2191–2194, doi:10.1029/94GL02118.
- [25] Vaníček, P., 1976. *Vertical Crustal Movement Pattern in Maritime Canada*. *Canad. J. of Earth Sci.*, 13(5), 661-667.
- [26] Lambert, A. and P. Vanicek, 1978. *Contemporary Crustal Movements in Canada*. *Canadian Journal of Earth Sciences*, 16, 647-668.
- [27] Vaníček, P. and D. Nagy, 1980. *Report on the Compilation of the Map of Vertical Crustal Movements in Canada*. Earth Physics Branch, Open File Report No. 80-2, Ottawa.
- [28] Vanicek, P., Elliott, M.R. and R. Castel, 1978. *Four Dimensional Modeling Of Recent Vertical Movements in the Area of the Southern California Uplift*. *Tectonophysics*, 52, 287-300.
- [29] Vaníček, P., D. Christodulides, 1974. *A Method for Evaluating Vertical Crustal Movements from Scattered Geodetic Relevellings*. *Canad. J. of Earth Sci.*, 11(5), 605-610.
- [30] Moritz, H., 1973. *Least Squares Collocation*. Deucher Geodaetische Kommission, München, ISBN: 3-7696-8162-2.
- [31] Moritz, H., 1980. *Advanced Physical Geodesy*. Abacus Press, 500 pp., ISBN-13: 978-3879071067.
- [32] Moritz H. and H. Sunkel, 1977. *Approximation Methods in Geodesy: Lectures Delivered at the 2, Internat. Summer School in the Mountains on Math. Methods in Phys. Geodesy*, Ramsau, Austria, August 23 - September 2, 1977, Wichmann Verlag, Karlsruhe.



The Vertical Pattern of Surface Deformation in Iran, Inferred from the GPS Measurement Campaigns

Mashadi Hossainali, M. *¹, Heidari H.R.²

1- Assistant Prof., Faculty of Geodesy and Geomatics Engineering, K.N. Toosi University of Technology

2- M.Sc. in Geodesy, Faculty of Geodesy and Geomatics Engineering, K.N. Toosi University of Technology

Abstract

Using the theory of analytical surface deformation analysis, the Earth's vertical surface deformation has been analyzed for Iran. Iran Global GPS campaign is used for the mentioned purpose. This network is the first regional GPS one in Iran which was designed and measured within a scientific cooperation between the National Cartographic Center of Iran and the University of Montpellier in France. The network measurements have been carried out in three successive epochs: 1999, 2001 and 2005. GAMIT/GLOBK GPS processing package has been used for processing the corresponding code and carrier phase measurements. To analyze vertical deformation in Iran, the change in the Gauss's second fundamental form and a measure for the change in curvature, mean curvature here, is used. Using the other available evidences such as focal mechanism solutions of the seismic events which have occurred during the observation period of this study has been verified.

Keywords: Deformation analysis, GPS, Analytical deformation analysis, vertical Deformation.